

II Simpósio da Pós-Graduação em Física – UFV

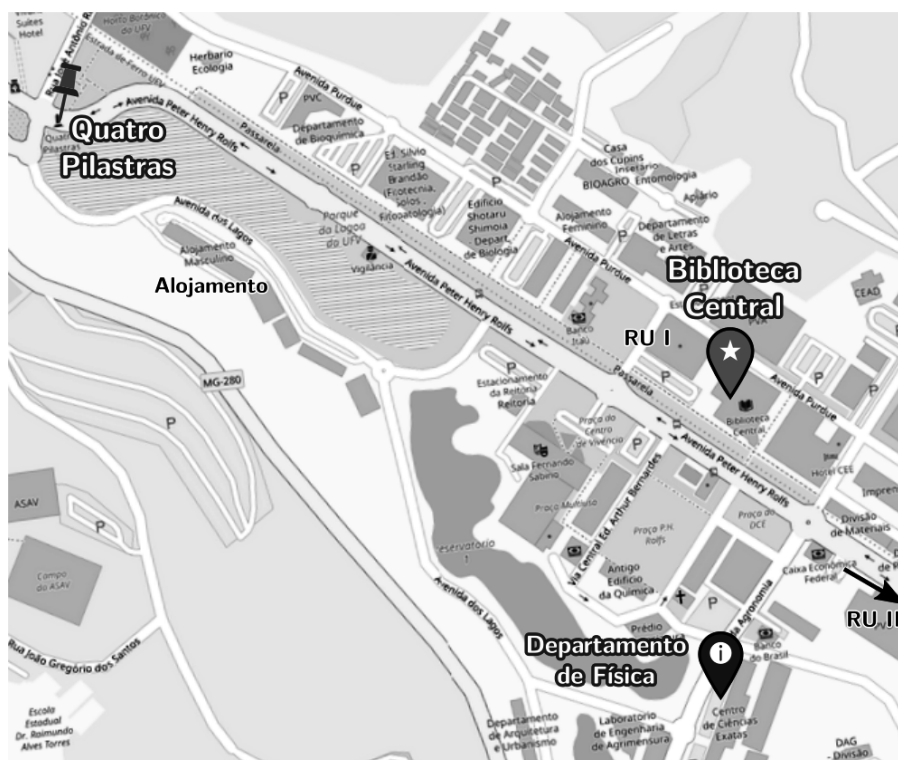
12 a 14 de novembro de 2019

Horário		12/11 (terça-feira)	13/11 (quarta-feira)	14/11 (quinta-feira)
08:00	08:30	Credenciamento	Laboratórios de Portas Abertas Laboratórios abertos à visitação: "Física de Portas Abertas"	
08:30	09:00	Abertura		
09:00	09:50	C1-01 - Cid B. de Araújo (UFPE)		C3-01 - Ildeu Moreira (SBPC/UFRJ)
09:50	10:20	Coffee break		Coffee break
10:20	11:10	I1-01 - Márcio S. Rocha (UFV) I1-02 - Sílvio C. Ferreira (UFV)		C3-02 - Dora Drullinsky (CEDENNA/Chile)
11:10	12:00	C1-02 - Rodrigo Lacerda (UFMG)		I3-01 - Tiago J. Oliveira (UFV) I3-02 - Alvaro V. N. C. Teixeira (UFV)
		Almoço		
14:00	14:50	A1-01 - Ismael S. S. Carrasco (UFF)	A2-01 - Rafael Cacilhas (UFV)	A3-01 - Diogo H. Silva (UFV)
		A1-02 - Milton L. de Lana Jr. (UFV)	A2-02 - Marco Antônio Amaral (UFSB)	A3-02 - Gabriel B. Apolinário (UFRJ)
		A1-03 - Warley H. Campos (UFV)	A2-03 - Gabriel Vinícius Silva (UFV)	A3-03 - Nathann T. Rodrigues (UFV)
14:50	15:40	C1-03 - Oscar Nassif (UFMG)	C2-01 - Adalberto Fazzio (CNPEN)	C3-03 - Celia Anteneodo (PUC-Rio)
15:40	16:30	P1 - Poster + coffee break	P2 - Poster + coffee break	P3 - Poster + coffee break
16:30	17:00			
17:00	17:50	I1-03 - Winder Moura-Melo (UFV)	Mesa redonda Modelo privado para o financiamento em ciência, tecnologia e inovação	Encerramento
		I1-04 - Sérgio Mello (UFV)		

Site do evento (com resumos e programação): ufv2019.simpofisica.com/programa

Local: Auditório da Biblioteca Central - UFV

Mapa do Campus Universitário:



Programação do dia 12 de novembro de 2019 (terça-feira)

Convidados

- C1-01 – Lasers Aleatórios e o comportamento vítreo da luz (Cid B. de Araújo)
- C1-02 – Crescimento de Grafeno e sua interação com ambientes gasosos e líquidos (Rodrigo Gribel Lacerda)
- C1-03 – Espectroscopia de Correlação de Fótons Revisitada: Inovação Tecnológica e Novas Aplicações (Oscar Nassif de Mesquita)

Convidados Internos

- I1-01 – 10 anos do laboratório de Física Biológica da UFV: da pinça de brinquedo às técnicas ópticas avançadas (Márcio S. Rocha)
- I1-02 – Três décadas de estudo de sistemas complexos na UFV (Sílvio Ferreira)
- I1-03 – A survey on magnetism and 'new materials': a bit of what has been done at UFV (Wander Moura-Melo)
- I1-04 – Silicon nanostructures formation induced by ion bombardment (Sergio Mello)

Apresentações orais

- A1-01 – Relações de escala na simulação da dissolução de calcita (Ismael Carrasco)
- A1-02 – Nanocompósito de polímero aqueço semicondutor e pontos quânticos coloidais de CdTe: produção e caracterização (Milton Lopes)
- A1-03 – Optically induced micro-oscillations in optical tweezers: a new application for semi-conductor materials (Warley H. Campos)

Apresentações em pôster

- P1-01 – Propriedades Morfológicas e Eletromagnéticas de Filmes Finos de Bismuto Eletrodepositados (Vitória)
- P1-02 – Formação de micelas em misturas de surfactantes iônicos e não-iônicos (Juliano Fernandes Teixeira)
- P1-03 – Estudo da interação de SDS com cosolventes e compostos de inclusão (Kairon)
- P1-04 – Atomic and Molecular Auger Decay in CHCl3 (Débora Vasconcelos)
- P1-05 – Rumor propagation meets skepticism: A parallel with zombies (Marco Antonio)
- P1-06 – O papel de sítios periféricos no modelo SIS (José Carlos)
- P1-07 – Microrredgia ativa e passiva aplicada a soluções de polímeros semiflexíveis (Leonam Duarte)
- P1-08 – Rico ou Pobre: Quem deveria pagar impostos mais altos? (Iago Barros)
- P1-09 – Time-series analysis of sea surface temperature and El Niño-Southern Oscillation (ENSO) dynamics (Juliane Moraes)
- P1-10 – Propriedades dinâmicas de um modelo bouncing em campo não homogêneo (Felipe Augusto)
- P1-11 – Estudo das propriedades eletrônicas do grafeno utilizando o modelo de Tight-Binding (Jacqueline T Santos)
- P1-12 – Método dos Sapos: Um Algoritmo Bioinspirado Para Extração de Dados da Dinâmica de Spin de Skyrmions (Isaac Santece)
- P1-13 – Transistor Spintrônico por efeito de campo com canal de grafeno (Hamilton)
- P1-14 – Potencial Eletivo e Condições para Supercondutividade Topológica e Supercondutividade Induzida (Allison W. Teixeira)
- P1-15 – Using Raman spectroscopy for identification of three microalgae species (John Ricardo)
- P1-16 – Construction of a Chem-Simons Model for Gravity (Matheus Palção)
- P1-17 – Ultraviolet finitness of $U_A(1) \times U_A(1)$ partly-preserving QED₃ (Emerson Miranda)
- P1-18 – Uma possível generalização do Princípio Variacional de Bogoliubov através da Entropia de Rényi (Henrique Santos Lima)
- P1-19 – Relações de escala na simulação da dissolução de calcita (Ismael Carrasco)
- P1-20 – Optically induced micro-oscillations in optical tweezers: a new application for semi-conductor materials (Warley H. Campos)

Programação do dia 13 de novembro de 2019 (quarta-feira)

Atividades

- L01 – Laboratórios abertos à visitação: "Física de Portas Abertas"
- M01 – Mesa Redonda: Modelo privado para o financiamento em ciência, tecnologia e inovação

Convidado

- C2-01 – Exploring 2D Materials via Machine Learning Descriptors (Adalberto Fazzio)

Apresentações orais

- A2-01 – Domain Wall motion and Walker breakdown in bent nanowires (Rafael Cadilhas)
- A2-02 – Mixing innovative and imitative dynamics in Evolutionary Games (Marco Antonio)
- A2-03 – Stable room temperature magnetocurrent in permeable n-type metal base transistor based on electrodeposited Iron-Nickel alloy (NiFe) and Zinc Oxide (ZnO) thin films (Gabriel Vinícius)

Apresentações em pôster

- P2-01 – Nova rota de síntese de pontos quânticos de CdTe: um novo fenômeno observável (Ray Maronezi)
- P2-02 – Energy Storage in Nickel Hexacyanoferrate Thin Films (René C. da Silva)
- P2-03 – Pontos quânticos de polímeros conjugados: produção e caracterização (Caio Henrique)
- P2-04 – Crescimento e caracterização de filmes finos de CdMnTe e um poço quântico CdTe/CdMnTe/Mar (W^o Vitória Tiago)
- P2-05 – Corner States in the Spinful and Magnetic Higher Order Topological Insulators (Warley H. Campos)
- P2-06 – Transporte Magnético em Plasmas de Redes de Spins Macroscópios (Maria Fernanda)
- P2-07 – Micro heater termopar eletrodepositado (Alvaro Santana)
- P2-08 – Eletrodeposição de hidroxipatita com incorporação de nanocamadas de talco pedra-sabão obtidas por esfoliação em fase líquida (Larissa Carneiro)
- P2-09 – Non massive immunization to contain spreading on scale-free networks (Guilherme Costa)
- P2-10 – Estudo de propriedades e dinâmica de redes aleatórias com vínculos geométricos via crescimento de agregados (Thainá Ferreira)
- P2-11 – Using AI for fast treatment of multiple Raman spectra (Flávio Moraes)
- P2-12 – Development of a biosensor system based on layer-by-layer films of PAH and folic acid for detection of cancer cells with folate receptors (Ablene Correia)
- P2-13 – Mixing innovative and imitative dynamics in Evolutionary Games (Marco Antonio)

Programação do dia 14 de novembro de 2019 (quinta-feira)

Convidados

- C3-01 – Os dois eclipses: Sobral, 1919; ciência no Brasil, 2019 (Ideu de Castro Moreira)
- C3-02 – Magnetization reversal in cylindrical nanostructures (Dora R. Altbir Drullinsky)
- C3-03 – Sincronização de sistemas não lineares (Celia Antenredo)

Convidados Internos

- I3-01 – Geometry dependence in surface growth (Tiago J. Oliveira)
- I3-02 – Formação de micelas em misturas do surfactante iônicos SDS e não-iônicos Brij L4 (Alvaro V. N. C. Teixeira)

Apresentações orais

- A3-01 – Spectral properties and the accuracy of mean-field approaches for epidemics on correlated power-law networks (Diogo H. Silva)
- A3-02 – The Onset of Intermittency in Stochastic Burgers Hydrodynamics (Gabriel Apolinário)
- A3-03 – Self-attracting self-avoiding trails on the triangular lattice interacting with a surface (Nathan T. Rodrigues)

Apresentações em pôster

- P3-01 – Estudo do efeito do annealing na produção de poros ordenados na alumina (Thamires Cordeiro)
- P3-02 – Estudo da taxa de geração de vapor em soluções coloidais contendo nanopartículas metálicas (Gabriel Corrêa)
- P3-03 – ()
- P3-04 – Three terminal nano-oscillator based on domain wall pinning by track defect (Oscar Ojeda)
- P3-05 – Formação de nanoestruturas semicondutoras induzidas por feixe de íons (Rafael F. Pimentel)
- P3-06 – Indústria e sustentabilidade ambiental: uma visualização do uso de ZnWO₄ em processo de fotocatalise heterogênea para degradação de contaminantes em efluentes industriais (Eliezer Silva)
- P3-07 – Modelos Plenas de aréa com disordem temporal (Arthur Schuenburg)
- P3-08 – Análise termostatística e crídica da agregação molecular via simulações computacionais (Lair Figueiredo Trugilho)
- P3-09 – Comparação entre métodos na microrreologia de materiais viscoelásticos (Tiago Azevedo)
- P3-10 – Polarização e fragmentação em bolhas na dinâmica de formação de opiniões sociais (Hugo P. Maia)
- P3-11 – Geração e Detecção de Correntes de Spin em Heteroestruturas Magnéticas por meio do Efeito Seebeck de Spin (Sávio A. Genovêz)
- P3-12 – Antiferromagnetic skyrmions overcoming obstacles in a racetrack (Ricardo Silva)
- P3-13 – Análise da quebra de simetria em sistemas de isótopos (Jackson de Souza)
- P3-14 – Isolantes Topológicos Bidimensionais e algumas de suas Implicações Tecnológicas (Dayvison Nicolas S. A.)
- P3-15 – Sistemas Modelo para aplicações Biomédicas (Wesley Jall)
- P3-16 – Estudo da interação entre európio e DNA (46 kbp) do tipo B com espectroscopia de força para moléculas únicas (Pinças Ópticas) (Josiane Batista)
- P3-17 – Um estudo teórico dos monopólos de Dirac e t'Hooft Polyakov (Vitor Souza)
- P3-18 – Møller scattering of massless fermions in a parity preserving Maxwell-Chern-Simons QED₃ (Wellisson B. de Lima)
- P3-19 – Electron-polaron-electron-polaron bound states in mass-gap graphene-like QED₃ (Emerson Miranda)